

产品目录

传感器

2025



目 录

特点	系列	页
产品系列		
霍尔效应 IC (磁性传感器 IC)		II
磁性传感器 IC (霍尔效应 IC) 普通用途 (高速, 高耐压) Zero Crossing Latch		II
温度传感器 IC		II
霍尔效应 IC (磁性传感器 IC)		
两极 / 单极检测型 霍尔效应开关 IC	S-5712A/B/C 系列	1
高速 低电压工作 两极 / 单极检测型 霍尔效应开关 IC	S-5712E 系列	2
两极 / 单极检测型 霍尔效应开关 IC	S-5715 系列	3
两极 / 单极检测型 霍尔效应开关 IC	S-5716 系列	4
低压工作 带可切换检测极性功能 两极 / 单极检测型 霍尔效应开关 IC	S-5718 系列	5
低电压工作 高速 交变检测型 霍尔效应 IC	S-5724 系列	6
高速 交变检测型 霍尔效应 IC	S-5725 系列	7
单极检测型 霍尔效应开关 IC	S-57B1 系列	8
高速 交变检测型 霍尔效应 IC	S-57M1 系列	9
磁性传感器 IC (霍尔效应 IC) 普通用途 (高速, 高耐压) Zero Crossing Latch		
高耐压 高速 单极检测型 霍尔效应开关 IC	S-5731 系列	10
工作温度 125°C 高耐压 高速 交变检测型 霍尔效应 IC	S-5741 B 系列	11
工作温度 125°C 高耐压 高速 交变检测型 霍尔效应 IC	S-5743 A 系列	12
工作温度 125°C、高耐压、高速、两极检测型霍尔效应开关 IC	S-575D B 系列	13
工作温度 125°C、高耐压、高速、单极检测型霍尔开关 IC	S-575S/5N B 系列	14
工作温度 125°C、高耐压、高速、交变检测型霍尔效应 IC	S-576B B 系列	15
工作温度 125°C、高耐压、高速、Zero Crossing Latch 霍尔效应 IC	S-576Z B 系列	16
工作温度范围广、高耐压、高速、Zero Crossing Latch 霍尔效应 IC	S-576Z R 系列	17
温度传感器 IC		
温度开关 IC	S-5841 系列	18
温度开关 IC	S-5844A 系列	19
带温度比较功能 高精度 数字温度传感器	S-5852A 系列	20
CMOS 温度传感器 IC	S-5813A/5814A 系列	21
CMOS 温度传感器 IC	S-58LM20A 系列	22
CMOS 温度传感器 IC	S-8110C/8120C 系列	23
备有 ARP 功能 内置温度传感器 2 线串行 EEPROM	S-585AA	24
封装		
封装一览		25

霍尔效应IC (磁性传感器IC)

[霍尔效应IC \(磁性传感器IC\) on ablic.com](#)

系列名	极性检测	驱动周期 typ. [ms]	消耗电流 typ. [μA]	电源电压 min. [V]	电源电压 max. [V]	磁气灵敏度 Bop typ. [±mT]	工作温度 min. [°C]	工作温度 max. [°C]	封装	页
S-5712A/B/C	Omnipolar, S pole, N pole	5.70, 6.05, 50.50, 50.85, 204.05, 204.10	1.0, 1.4, 2.0, 6.0, 12	1.60	3.5	1.8, 3.0, 4.5, 7.0	-40	85	SNT-4A, SOT-23-3	1
S-5712E	Omnipolar, S pole, N pole	0.05, 0.10	640	1.60	3.5	3.0, 4.5, 7.0	-40	85	SNT-4A, SOT-23-3	2
S-5715	Omnipolar, S pole, N pole	0.05, 0.10, 0.90, 1.25, 5.70, 6.05	13, 26, 60, 155, 1400	2.70	5.5	3.0	-40	85	SNT-4A, SOT-23-3	3
S-5716	Omnipolar, S pole, N pole	50.50, 50.85	2.6, 4.0	2.70	5.5	1.8, 3.0, 3.4, 4.5, 7.0	-40	85	SNT-4A, SOT-23-3	4
S-5718	Omnipolar, S pole, N pole	5.70, 50.50, 102.10	1.4, 2.0, 12	1.45	3.6	1.8, 3.0, 4.5	-40	85	SNT-4A	5
S-5724	Bipolar	0.05, 1.25, 6.05	6.0, 26, 640	1.60	3.5	3.0	-40	85	SNT-4A, SOT-23-3	6
S-5725	Bipolar	0.05, 1.25, 6.05	13, 60, 1400	2.70	5.5	0.8, 1.8, 3.0, 7.0	-40	85	SNT-4A, SOT-23-3	7
S-57B1	S pole	0.05	1400	2.70	5.5	3.0	-40	125	SOT-23-3	8
S-57M1	Bipolar	0.05	1400	2.70	5.5	3.0	-40	125	SNT-4A, SOT-23-3	9

磁性传感器IC (霍尔效应IC) 普通用途 (高速, 高耐压) Zero Crossing Latch

[磁性传感器IC \(霍尔效应IC\) 普通用途 \(高速, 高耐压\) Zero Crossing Latch on ablic.com](#)

系列名	极性检测	输出延迟时间 typ. [μs]	斩波频率 typ. [kHz]	电源电压 min. [V]	电源电压 max. [V]	磁气灵敏度 Bop typ. [±mT]	工作温度 min. [°C]	工作温度 max. [°C]	封装	页
S-5731	S pole, N pole	16	250	3.5	26.0	3.0, 6.0	-40	85	SOT-23-3	10
S-5741 B	Bipolar	8	500	3.5	26.0	1.8, 3.0, 6.0	-40	125	SOT-23-3S	11
S-5743 A	Bipolar	8	500	2.7	26.0	0.5, 1.5, 2.2, 3.0	-40	125	SOT-23-3S	12
S-575D B	Omnipolar	16	500	2.7	26.0	3.0, 6.0, 10.0, 15.0	-40	125	TSOT-23-3S, HSNT-6(2025)	13
S-575S/5N B	S pole, N pole	8	500	2.7	26.0	3.0, 6.0, 10.0, 15.0	-40	125	TSOT-23-3S, HSNT-6(2025)	14
S-576B B	Bipolar	8	500	2.7	26.0	0.5, 2.2, 3.0, 6.0, 10.0	-40	125	TSOT-23-3S, HSNT-6(2025)	15
S-576Z B	Zero Crossing Latch	8	500	2.7	26.0	-	-40	125	TSOT-23-3S, HSNT-6(2025)	16
S-576Z R	Zero Crossing Latch	8	500	2.7	26.0	-	-50	150	TSOT-23-3S	17

温度传感器IC

[温度传感器IC on ablic.com](#)

系列名	特点	感度 / 功能	检测温度 min. [°C]	检测温度 max. [°C]	电源电压 min. [V]	电源电压 max. [V]	消耗电流 [μA]	温度精度 [±°C]	工作温度 min. [°C]	工作温度 max. [°C]	封装	页
S-5841	温度开关	Hysteresis	40	100	2.20	10.0	10.00	2.5	-40	125	SOT-23-5, SNT-6A	18
S-5844A	温度开关	Hysteresis	50	100	1.65	5.5	0.18	2.5	-40	125	SOT-23-5, SNT-4A, HSNT-4(1010)	19
S-5852A	数字输出	0.0625°C	-40	125	1.70	3.6	40.00	1.0	-40	125	HSNT-8(2030)	20
S-5813A/5814A	模拟输出	-11.04mV/°C	-30	100	2.40	10.0	4.00	2.5, 5.0	-40	100	SNT-4A	21
S-58LM20A	模拟输出	-11.77mV/°C	-55	130	2.40	5.5	4.50	2.5	-55	130	SC-82AB, SNT-4A, WLP-4B	22
S-8110C/8120C	模拟输出	-8.20mV/°C	-30	100	2.40	10.0	4.50	2.5, 5.0	-40	100	SC-82AB, SNT-4A	23
S-585AA	With ARP function / EEPROM, 数字输出	0.0625°C	-40	125	1.70	3.6	40.00	1.0	-40	125	DFN-8(2030)B	24

S-5712A/B/C系列

低电压工作
两极 / 单极检测型 霍尔效应开关IC

本IC是采用CMOS技术开发的可对应低电压工作、可低消耗电流工作的高精度霍尔效应开关IC。可检测出磁束密度的强弱，使输出电压发生变化。通过与磁石的组合，可对各种设备的开 / 关进行检测。

由于采用小型的SOT-23-3或超小型的SNT-4A封装，因此可高密度安装。

本IC因为是低电压工作、消耗电流低，所以最适用于电池驱动的便携设备。同时，因具备高精度磁特性，故与磁石组合的工作偏差可变少。

本公司可根据用户的机械构造推荐磁石与本公司霍尔IC的最佳组合，为用户提供 "磁力模拟分析服务"。通过灵活应用此磁力模拟分析服务，可削减试产次数、开发周期和开发费用，为实现最优化产品更高的性能价格比做出贡献。

有关磁力模拟分析服务的实施详情，请向代理商咨询。

■ 特点

- 极性检测*1： 检测两极、检测S极、检测N极
- 输出逻辑*1： 动态 "L"、动态 "H"
- 输出方式*1： N沟道开路漏极输出、CMOS输出
- 磁气灵敏度*1：
 - B_{OP} = 1.8 mT (典型值)
 - B_{OP} = 3.0 mT (典型值)
 - B_{OP} = 4.5 mT (典型值)
 - B_{OP} = 7.0 mT (典型值)
- 驱动周期 (消耗电流)*1：
 - 检测两极产品
 - t_{CYCLE} = 5.70 ms (I_{DD} = 12.0 μA) (典型值)
 - t_{CYCLE} = 50.50 ms (I_{DD} = 2.0 μA) (典型值)
 - t_{CYCLE} = 204.10 ms (I_{DD} = 1.0 μA) (典型值)
 - 检测S极、N极产品
 - t_{CYCLE} = 6.05 ms (I_{DD} = 6.0 μA) (典型值)
 - t_{CYCLE} = 50.85 ms (I_{DD} = 1.4 μA) (典型值)
 - t_{CYCLE} = 204.05 ms (I_{DD} = 1.0 μA) (典型值)
- 电源电压范围： V_{DD} = 1.6 V ~ 3.5 V
- 工作温度范围： Ta = -40°C ~ +85°C
- 无铅 (Sn 100%)、无卤素

*1. 可以选项。

■ 用途

- 手机、智能手机
- 笔记本电脑、平板电脑
- 数码摄像机
- 玩具、游戏机
- 家用电器产品

■ 封装

- SOT-23-3
- SNT-4A

S-5712E系列

高速 低电压工作 两极 / 单极检测型 霍尔效应开关IC

本IC是采用CMOS技术开发的可对应低电压工作、可进行高速检测的高精度霍尔效应开关IC。可检测出磁束密度的强弱，使输出电压发生变化。通过与磁石的组合，可对各种设备的开 / 关进行检测。

由于采用小型的SOT-23-3或超小型的SNT-4A封装，因此可高密度安装。

本IC因为是低电压工作、消耗电流低，所以最适用于电池驱动的便携设备。同时，因具备高精度磁特性，故与磁石组合的工作偏差可变少。

本公司可根据用户的机械构造推荐磁石与本公司霍尔IC的最佳组合，为用户提供 "磁力模拟分析服务"。通过灵活应用此磁力模拟分析服务，可削减试产次数、开发周期和开发费用，为实现最优化产品更高的性能价格比做出贡献。

有关磁力模拟分析服务的实施详情，请向代理商咨询。

■ 特点

- | | |
|--------------------|---|
| • 极性检测*1： | 检测两极、检测S极、检测N极 |
| • 输出逻辑*1： | 动态 "L"、动态 "H" |
| • 输出方式*1： | N沟道开路漏极输出、CMOS输出 |
| • 磁气灵敏度*1： | B _{OP} = 3.0 mT (典型值)
B _{OP} = 4.5 mT (典型值)
B _{OP} = 7.0 mT (典型值) |
| • 驱动周期 (消耗电流)： | 检测两极产品
t _{CYCLE} = 0.10 ms (I _{DD} = 640 μA) (典型值)
检测S极、N极产品
t _{CYCLE} = 0.05 ms (I _{DD} = 640 μA) (典型值) |
| • 电源电压范围： | V _{DD} = 1.6 V ~ 3.5 V |
| • 工作温度范围： | T _a = -40°C ~ +85°C |
| • 无铅 (Sn 100%)、无卤素 | |

*1. 可以选项。

■ 用途

- 手机、智能手机
- 笔记本电脑、平板电脑
- 数码摄像机
- 玩具、游戏机
- 家用电器产品

■ 封装

- SOT-23-3
- SNT-4A

S-5715系列

高速 / 中速 低消耗电流 两极 / 单极检测型 霍尔IC

S-5715系列是采用CMOS技术开发的可对应高速 / 中速检测、低消耗电流工作的高精度霍尔IC。它可检测出磁束密度的强弱，使输出电压发生变化。通过与磁石的组合，可对各种设备的开关以及翻转进行检测。由于采用小型的SOT-23-3或超小型的SNT-4A封装，因此可高密度安装。S-5715系列因具备高精度磁特性，故与磁石组合的工作偏差可变少。

注意 本产品是为了使用于家电设备、办公设备、通信设备等普通的电子设备上而设计的。考虑使用在汽车车载设备 (包括车载音响、无匙车锁、发动机控制等) 和医疗设备用途上的客户，请务必事先与本公司的营业部门商谈。

■ 特点

- 极性检测^{*1} : 检测两极、检测S极、检测N极
- 磁性检测逻辑^{*1} : 动态 "L"、动态 "H"
- 输出方式^{*1} : N沟道开路漏极输出、CMOS输出
- 磁性灵敏度 : $B_{OP} = 3.0 \text{ mT}$ (典型值)
- 驱动周期 (消耗电流)^{*1} : 检测两极
 - $t_{CYCLE} = 0.10 \text{ ms}$ (1400 μA) (典型值)
 - $t_{CYCLE} = 0.90 \text{ ms}$ (155 μA) (典型值)
 - $t_{CYCLE} = 5.70 \text{ ms}$ (26 μA) (典型值)
- 检测S极、N极
 - $t_{CYCLE} = 0.05 \text{ ms}$ (1400 μA) (典型值)
 - $t_{CYCLE} = 1.25 \text{ ms}$ (60 μA) (典型值)
 - $t_{CYCLE} = 6.05 \text{ ms}$ (13 μA) (典型值)
- 电源电压范围 : $V_{DD} = 2.7 \text{ V} \sim 5.5 \text{ V}$
- 工作温度范围 : $T_a = -40^\circ\text{C} \sim +85^\circ\text{C}$
- 无铅 (Sn 100%)、无卤素^{*2}

*1. 可以选项。

*2. 详情请参阅 "■ 产品型号的构成"。

■ 用途

- 玩具、游戏机
- 家用电器产品
- 住宅设备
- 各种产业设备

■ 封装

- SOT-23-3
- SNT-4A

S-5716系列

低消耗电流 两极 / 单极检测型 霍尔效应开关IC

本IC是采用CMOS技术开发的可低消耗电流工作的高精度霍尔效应开关IC。它可检测出磁束密度的强弱，使输出电压发生变化。通过与磁石的组合，可对各种设备的开关进行检测。由于采用小型SOT-23-3封装和超小型SNT-4A封装，因此可高密度安装。本IC因具备高精度磁特性，故与磁石组合的工作偏差可变少。

本公司可根据用户的机械构造推荐磁石与本公司霍尔IC的最佳组合，为用户提供 "磁力模拟分析服务"。通过灵活应用此磁力模拟分析服务，可削减试产次数、开发周期和开发费用，为实现最优化产品更高的性能价格比做出贡献。有关磁力模拟分析服务的实施详情，请向代理商咨询。

■ 特点

- 极性检测*1： 检测两极、检测S极、检测N极
- 输出逻辑*1： 动态 "L"、动态 "H"
- 输出方式*1： N沟道开路漏极输出、CMOS输出
- 磁性灵敏度*1：
 - BOP = 1.8 mT (典型值)
 - BOP = 3.0 mT (典型值)
 - BOP = 3.4 mT (典型值)
 - BOP = 4.5 mT (典型值)
 - BOP = 7.0 mT (典型值)
- 驱动周期 (消耗电流)：
 - 检测两极产品
t_{CYCLE} = 50.50 ms (I_{DD} = 4.0 μA) (典型值)
 - 检测S极、N极产品
t_{CYCLE} = 50.85 ms (I_{DD} = 2.6 μA) (典型值)
- 电源电压范围： V_{DD} = 2.7 V ~ 5.5 V
- 工作温度范围： Ta = -40°C ~ +85°C
- 无铅 (Sn 100%)、无卤素

*1. 可以选项。

■ 用途

- 玩具、游戏机
- 家用电器产品
- 住宅设备
- 各种产业设备

■ 封装

- SOT-23-3
- SNT-4A

S-5718系列

低压工作 带可切换检测极性功能 两极 / 单极检测型 霍尔效应开关IC

本IC是采用CMOS技术开发的低电压工作、低消耗电流工作、带可切换检测极性功能、具备高精度磁特性的霍尔效应开关IC。通过检测与输入端子状态相应的极性的磁束密度强弱，使输出电压发生变化；通过备有的检测极性切换功能，在与磁石的组合后，即可削减零部件数、也可进行各种机械构造的设计。本IC采用了超小型的SNT-4A封装，可高密度安装。

本IC具备低压、低消耗电流工作的特点，最适宜电池驱动的便携设备；还具备高精度磁特性，故与磁石组合的机械构造的工作偏差可变少。

本公司可根据用户的机械构造推荐磁石与本公司霍尔效应IC的最佳组合，为用户提供“磁力模拟分析服务”。通过灵活应用此磁力模拟分析服务，可削减试产次数、开发周期和开发费用，为实现最优化产品更高的性能价格比做出贡献。有关磁力模拟分析服务的实施详情，请向本公司营业部咨询。

■ 特点

- | | |
|--------------------------------|--|
| • 可切换检测极性功能： | 两极检测、S极检测、N极检测 |
| • 输出逻辑 ^{*1} ： | 动态 "L"
动态 "H" |
| • 输出方式： | CMOS输出 |
| • 磁性灵敏度 (滞后幅度) ^{*1} ： | B _{OP} = 1.8 mT (典型值) (B _{HYS} = 0.7 mT (典型值))
B _{OP} = 3.0 mT (典型值) (B _{HYS} = 0.8 mT (典型值))
B _{OP} = 3.0 mT (典型值) (B _{HYS} = 1.3 mT (典型值))
B _{OP} = 4.5 mT (典型值) (B _{HYS} = 1.0 mT (典型值))
B _{OP} = 4.5 mT (典型值) (B _{HYS} = 2.5 mT (典型值)) |
| • 驱动周期 (消耗电流) ^{*1} ： | t _{CYCLE} = 102.1 ms (典型值) (I _{DD} = 1.4 μA (典型值))
t _{CYCLE} = 50.5 ms (典型值) (I _{DD} = 2.0 μA (典型值))
t _{CYCLE} = 5.7 ms (典型值) (I _{DD} = 12.0 μA (典型值)) |
| • 电源电压范围 ^{*2} ： | V _{DD} = 1.45 V ~ 3.6 V |
| • 工作温度范围： | T _a = -40°C ~ +85°C |
| • 无铅 (Sn 100%)、无卤素 | |

*1. 可以选项。

*2. 根据选项的组合，电源电压范围会有不同。

■ 用途

- 手机、智能手机
- 笔记本电脑、平板电脑
- 可穿戴设备
- 玩具、游戏机
- 家用电器产品

■ 封装

- SNT-4A

S-5724系列

低电压工作 高速 交变检测型 霍尔效应IC

S-5724系列是采用CMOS技术开发的可对应低电压工作，具有高灵敏度磁性，可进行高速检测、低消耗电流工作的高精度霍尔效应IC。

它可通过检测磁束密度的强弱以及极性变化，使输出电压发生变化。通过与磁石的组合，可对各种设备的翻转进行检测。

由于采用小型的SOT-23-3或超小型的SNT-4A封装，因此可高密度安装。

S-5724系列因具备高精度磁特性，故与磁石组合的工作偏差可变少。

注意 本产品是为了使用于家电设备、办公设备、通信设备等普通的电子设备上而设计的。考虑使用在汽车车载设备 (包括车载音响、无匙车锁、发动机控制等) 和医疗设备用途上的客户，请务必事先与代理商商谈。

■ 特点

- | | |
|--------------------|--|
| • 极性检测： | 交变检测 |
| • 输出逻辑*1： | 检测S极时 $V_{OUT} = "L"$
检测S极时 $V_{OUT} = "H"$ |
| • 输出方式*1： | Nch开路漏极输出、CMOS输出 |
| • 磁性灵敏度： | $B_{OP} = 3.0 \text{ mT}$ (典型值) |
| • 驱动周期 (消耗电流)*1： | $t_{CYCLE} = 50 \mu\text{s}$ ($I_{DD} = 640.0 \mu\text{A}$) (典型值)
$t_{CYCLE} = 1.25 \text{ ms}$ ($I_{DD} = 26.0 \mu\text{A}$) (典型值)
$t_{CYCLE} = 6.05 \text{ ms}$ ($I_{DD} = 6.0 \mu\text{A}$) (典型值) |
| • 电源电压范围： | $V_{DD} = 1.6 \text{ V} \sim 3.5 \text{ V}$ |
| • 工作温度范围： | $T_a = -40^\circ\text{C} \sim +85^\circ\text{C}$ |
| • 内置电源开 / 关控制电路： | 可延长电池的使用寿命 (仅限SNT-4A) |
| • 无铅 (Sn 100%)、无卤素 | |

*1. 可以选项。

■ 用途

- 数码相机
- 玩具、游戏机
- 家用电器产品

■ 封装

- SOT-23-3
- SNT-4A

S-5725系列

高速
交变检测型 霍尔效应IC

本IC是采用CMOS技术开发的具有高灵敏度磁性、可进行高速检测、低消耗电流工作的高精度霍尔效应IC。它可通过检测磁束密度的强弱以及极性变化，使输出电压发生变化。通过与磁石的组合，可对各种设备的翻转进行检测。由于采用小型的SOT-23-3或超小型的SNT-4A封装，因此可高密度安装。本IC因具备高精度磁特性，故与磁石组合的工作偏差可变少。

本公司可根据用户的机械构造推荐磁石与本公司霍尔效应IC的最佳组合，为用户提供“磁力模拟分析服务”。通过灵活应用此磁力模拟分析服务，可削减试产次数、开发周期和开发费用，为实现最优化产品更高的性能价格比做出贡献。有关磁力模拟分析服务的实施详情，请向本公司营业部咨询。

■ 特点

- | | |
|--------------------|--|
| • 极性检测： | 交变检测 |
| • 输出逻辑*1： | 检测S极时 $V_{OUT} = "L"$
检测S极时 $V_{OUT} = "H"$ |
| • 输出方式*1： | N沟道开路漏极输出、CMOS输出 |
| • 磁性灵敏度*1： | $B_{OP} = 0.8 \text{ mT}$ (典型值)
$B_{OP} = 1.8 \text{ mT}$ (典型值)
$B_{OP} = 3.0 \text{ mT}$ (典型值)
$B_{OP} = 7.0 \text{ mT}$ (典型值) |
| • 驱动周期 (消耗电流)*1： | $t_{CYCLE} = 50 \mu\text{s}$ ($I_{DD} = 1400.0 \mu\text{A}$) (典型值)
$t_{CYCLE} = 1.25 \text{ ms}$ ($I_{DD} = 60.0 \mu\text{A}$) (典型值)
$t_{CYCLE} = 6.05 \text{ ms}$ ($I_{DD} = 13.0 \mu\text{A}$) (典型值) |
| • 电源电压范围： | $V_{DD} = 2.7 \text{ V} \sim 5.5 \text{ V}$ |
| • 工作温度范围： | $T_a = -40^\circ\text{C} \sim +85^\circ\text{C}$ |
| • 内置电源开 / 关控制电路： | 可延长电池的使用寿命 (仅限SNT-4A) |
| • 无铅 (Sn 100%)、无卤素 | |

*1. 可以选项。

■ 用途

- 玩具、游戏机
- 家用电器产品
- 住宅设备
- 各种产业设备

■ 封装

- SOT-23-3
- SNT-4A

S-57B1系列

工作温度125°C 高速
单极检测型 霍尔IC

本IC是采用CMOS技术开发的具有高灵敏度磁性，可进行高速检测、低消耗电流工作的高精度霍尔IC。可检测出磁束密度的强弱，使输出电压发生变化。通过与磁石的组合，可对各种设备的开关以及翻转进行检测。由于采用小型的SOT-23-3封装，因此可高密度安装。因具备高精度磁特性，故与磁石组合的工作偏差可变少。

本公司可根据用户的机械构造推荐磁石与本公司霍尔IC的最佳组合，为用户提供“磁力模拟分析服务”。通过灵活应用此磁力模拟分析服务，可削减试产次数、开发周期和开发费用，为实现最优化产品更高的性能价格比做出贡献。有关磁力模拟分析服务的实施详情，请向本公司营业部咨询。

■ 特点

- | | |
|--------------------|----------------------------------|
| • 极性检测： | 检测S极 |
| • 磁性检测逻辑*1： | 动态 "L"、动态 "H" |
| • 输出方式*1： | Nch开路漏极输出、CMOS输出 |
| • 磁性灵敏度*1： | B _{OP} = 3.0 mT (典型值) |
| | B _{OP} = 4.5 mT (典型值) |
| | B _{OP} = 7.0 mT (典型值) |
| • 驱动周期： | t _{CYCLE} = 50 μs (典型值) |
| • 电源电压范围： | V _{DD} = 2.7 V ~ 5.5 V |
| • 工作温度范围： | T _a = -40°C ~ +125°C |
| • 无铅 (Sn 100%)、无卤素 | |

*1. 可以选项。

■ 用途

- 电动机
- 住宅设备
- 各种产业设备

■ 封装

- SOT-23-3

S-57M1系列

高速、 交变检测型霍尔效应IC

本IC是采用CMOS技术开发的具有高灵敏度磁性，可进行高速检测、低消耗电流工作的高精度霍尔IC。
 可通过检测磁束密度的强弱以及极性变化，切换输出电压的电位。通过与磁石的组合，可对各种设备的翻转进行检测。
 备有小型的SOT-23-3封装和超小型的SNT-4A封装，可进行高密度安装。
 本IC还具备高精度磁特性，故与磁石组合的工作偏差可变少。

本公司可根据用户的机械构造推荐磁石与本公司霍尔效应IC的最佳组合，为用户提供 "磁力模拟分析服务"。通过灵活应用此磁力模拟分析服务，可削减试产次数、开发周期和开发费用，为实现最优化产品更高的性能价格比做出贡献。有关磁力模拟分析服务的实施详情，请向代理商部咨询。

■ 特点

- | | |
|--------------------|--|
| • 极性检测： | 交变检测 |
| • 输出逻辑*1： | 检测S极时 $V_{OUT} = "L"$
检测S极时 $V_{OUT} = "H"$ |
| • 输出方式*1： | N沟道开路漏极输出、CMOS输出 |
| • 磁性灵敏度： | $B_{OP} = 3.0 \text{ mT}$ (典型值) |
| • 驱动周期 (消耗电流)： | $t_{CYCLE} = 50 \mu\text{s}$ (1400 μA) (典型值) |
| • 电源电压范围： | $V_{DD} = 2.7 \text{ V} \sim 5.5 \text{ V}$ |
| • 工作温度范围： | $T_a = -40^\circ\text{C} \sim +125^\circ\text{C}$ |
| • 无铅 (Sn 100%)、无卤素 | |

*1. 可以选项。

■ 用途

- 电动机
- 住宅设备
- 各种产业设备

■ 封装

- SOT-23-3
- SNT-4A

S-5731系列

高耐压 高速
单极检测型 霍尔效应开关IC

本IC是采用CMOS技术开发的高耐压、高速检测、高精度磁特性单极检测型的霍尔效应开关IC。

它可通过检测磁束密度的强弱,使输出电压发生变化。通过与磁石的组合,可对各种设备的开关以及翻转进行检测。

本IC内置输出电流限制电路。

由于采用了小型的SOT-23-3封装,因此可高密度安装。

本IC因具备高精度磁特性,故与磁石组合的工作偏差可变少。

本公司可根据用户的机械构造推荐磁石与本公司霍尔效应IC的最佳组合,为用户提供"磁力模拟分析服务"。通过灵活应用此磁力模拟分析服务,可削减试产次数、开发周期和开发费用,为实现最优化产品更高的性能价格比做出贡献。有关磁力模拟分析服务的实施详情,请向本公司营业部咨询。

■ 特点

- 极性检测^{*1}: 检测S极、检测N极
- 输出逻辑^{*1}: 动态 "L"、动态 "H"
- 输出方式^{*1}: N沟道开路漏极输出
N沟道驱动器 + 内置上拉电阻
- 磁性灵敏度^{*1}: $B_{OP} = 3.0 \text{ mT}$ (典型值)
 $B_{OP} = 6.0 \text{ mT}$ (典型值)
- 斩波频率: $f_C = 250 \text{ kHz}$ (典型值)
- 输出延迟时间: $t_D = 16.0 \mu\text{s}$ (典型值)
- 电源电压范围: $V_{DD} = 3.5 \text{ V} \sim 26.0 \text{ V}$
- 内置稳压器
- 内置输出电流限制电路
- 工作温度范围: $T_a = -40^\circ\text{C} \sim +85^\circ\text{C}$
- 无铅 (Sn 100%)、无卤素

*1. 可以选项。

■ 用途

- 家用电器产品
- DC无刷电动机
- 住宅设备
- 各种产业设备

■ 封装

- SOT-23-3

S-5741 B系列

工作温度125°C 高耐压 高速
交变检测型 霍尔效应IC

本IC是采用CMOS技术开发的高耐压、高速检测、高精度磁特性交变检测型的霍尔效应IC。可通过检测磁束密度的强弱以及极性变化，使输出电压发生变化。通过与磁石的组合，可对各种设备的翻转进行检测。本IC还内置了输出电流限制电路。本IC由于采用了小型的SOT-23-3S封装，因此可高密度安装。还具备高精度磁特性，故与磁石组合的机械构造的工作偏差可变少。

本公司可根据用户的机械构造推荐磁石与本公司霍尔效应IC的最佳组合，为用户提供“磁力模拟分析服务”。通过灵活应用此磁力模拟分析服务，可削减试产次数、开发周期和开发费用，为实现最优化产品更高的性能价格比做出贡献。有关磁力模拟分析服务的实施详情，请向代理商咨询。

■ 特点

- | | |
|--------------------|----------------------------------|
| • 极性检测： | 交变检测 |
| • 输出逻辑*1： | 检测S极时V _{OUT} = "L" |
| | 检测S极时V _{OUT} = "H" |
| • 输出方式*1： | N沟道开路漏极输出 |
| | N沟道驱动器 + 内置上拉电阻 |
| • 磁性灵敏度*1： | B _{OP} = 1.8 mT (典型值) |
| | B _{OP} = 3.0 mT (典型值) |
| | B _{OP} = 6.0 mT (典型值) |
| • 斩波频率： | f _C = 500 kHz (典型值) |
| • 输出延迟时间： | t _D = 8.0 μs (典型值) |
| • 电源电压范围： | V _{DD} = 3.5 V ~ 26.0 V |
| • 内置稳压器 | |
| • 内置输出电流限制电路 | |
| • 工作温度范围： | T _a = -40°C ~ +125°C |
| • 无铅 (Sn 100%)、无卤素 | |

*1. 可以选项。

■ 用途

- 家用电器产品
- DC无刷电动机
- 住宅设备
- 各种产业设备

■ 封装

- SOT-23-3S

S-5743 A系列

工作温度125°C 高耐压 高速
交变检测型 霍尔效应IC

本IC是采用CMOS技术开发的可在高温环境下工作、高耐压的高精度霍尔效应IC。

它可通过检测磁束密度的强弱以及极性变化,使输出电压发生变化。通过与磁石的组合,可对各种设备的翻转进行检测。

本IC内置输出电流限制电路。

由于采用了小型的SOT-23-3S封装,因此可高密度安装。

本IC因具备高精度磁特性,工作偏差可变少。

本公司可根据用户的机械构造推荐磁石与本公司霍尔效应IC的最佳组合,为用户提供"磁力模拟分析服务"。通过灵活应用此磁力模拟分析服务,可削减试产次数、开发周期和开发费用,为实现最优化产品更高的性能价格比做出贡献。有关磁力模拟分析服务的实施详情,请向本公司营业部咨询。

■ 特点

- | | |
|-------------------------|----------------------------------|
| • 极性检测 : | 交变检测 |
| • 输出逻辑 ^{*1} : | 检测S极时V _{OUT} = "L" |
| | 检测S极时V _{OUT} = "H" |
| • 输出方式 : | N沟道开路漏极输出 |
| • 磁性灵敏度 ^{*1} : | B _{OP} = 0.5 mT (典型值) |
| | B _{OP} = 1.5 mT (典型值) |
| | B _{OP} = 2.2 mT (典型值) |
| | B _{OP} = 3.0 mT (典型值) |
| • 斩波频率 : | f _C = 500 kHz (典型值) |
| • 输出延迟时间 : | t _D = 8.0 μs (典型值) |
| • 电源电压范围 : | V _{DD} = 2.7 V ~ 26.0 V |
| • 内置稳压器 | |
| • 内置输出电流限制电路 | |
| • 工作温度范围 : | T _a = -40°C ~ +125°C |
| • 无铅 (Sn 100%)、无卤素 | |

*1. 可以选项。

■ 用途

- 电动工具
- 家用电器产品
- DC无刷电动机
- 住宅设备
- 各种产业设备

■ 封装

- SOT-23-3S

S-575D B系列

工作温度125°C、
高耐压、高速、
两极检测型霍尔效应开关IC

本IC是采用CMOS技术开发的可在高温环境下工作、高耐压的高精度霍尔效应开关IC。

通过检测磁束密度的强弱可以切换输出电压的电位。通过与磁石的组合，可对各种设备的开 / 关进行检测。

本公司可根据用户的机械构造推荐磁石与本公司霍尔效应IC的最佳组合，为用户提供 "磁力模拟分析服务"。通过灵活应用此磁力模拟分析服务，可削减试产次数、开发周期和开发费用，为实现最优化产品更高的性能价格比做出贡献。有关磁力模拟分析服务的实施详情，请向代理商部咨询。

■ 特点

- 备有薄型的 (t0.80 mm (最大值)) TSOT-23-3S和超薄型的 (t0.50 mm (最大值)) HSNT-6(2025) 封装，可实现独具匠心的设备设计
- 具备高精度磁特性，有助于机械设备准确的工作 (详情请参阅 "■ 磁特性")
- 内置有输出电流限制电路，可提高设备的安全设计

■ 规格

- 极性检测 : 检测两极
- 输出逻辑*1 : 动态 "L"
动态 "H"
- 输出方式*1 : N沟道开路漏极输出
N沟道驱动器 + 内置上拉电阻 (1.2 kΩ (典型值))
- 磁性灵敏度*1 : B_{OP} = 3.0 mT (典型值)
B_{OP} = 6.0 mT (典型值)
B_{OP} = 10.0 mT (典型值)
B_{OP} = 15.0 mT (典型值)
- 斩波频率 : f_C = 500 kHz (典型值)
- 输出延迟时间 : t_D = 16.0 μs (典型值)
- 电源电压范围*2 : V_{DD} = 2.7 V ~ 26.0 V
- 内置稳压器
- 内置输出电流限制电路
- 工作温度范围 : T_a = -40°C ~ +125°C
- 无铅 (Sn 100%)、无卤素

*1. 可以选项。

*2. 输出方式为N沟道驱动器 + 内置上拉电阻 (1.2 kΩ (典型值)) 时，V_{DD} = 2.7 V ~ 5.5 V。

■ 用途

- 家用电器产品
- 住宅设备
- 产业设备

■ 封装

- TSOT-23-3S
- HSNT-6(2025)

S-575S/5N B系列

工作温度125°C、
高耐压、高速、
单极检测型霍尔开关IC

本IC是采用CMOS技术开发的可在高温环境下工作、高耐压的高精度霍尔效应开关IC。

通过检测磁束密度的强弱可切换输出电压的电位。通过与磁石的组合, 可对各种设备的开 / 关进行检测。

本公司可根据用户的机械构造推荐磁石与本公司霍尔效应IC的最佳组合, 为用户提供 "磁力模拟分析服务"。通过灵活应用此磁力模拟分析服务, 可削减试产次数、开发周期和开发费用, 为实现最优化产品更高的性能价格比做出贡献。有关磁力模拟分析服务的实施详情, 请向代理商部咨询。

■ 特点

- 备有薄型的 (t0.80 mm (最大值)) TSOT-23-3S和超薄型的 (t0.50 mm (最大值)) HSNT-6(2025) 封装, 可实现独具匠心的设备设计
- 具备高精度磁特性, 有助于机械设备准确的工作 (详情请参阅 "■ 磁特性")
- 内置有输出电流限制电路, 可提高设备的安全设计

■ 规格

- 极性检测 : 单极检测
- 输出逻辑*1 : 动态 "L"
动态 "H"
- 输出方式*1 : N沟道开路漏极输出
N沟道驱动器 + 内置上拉电阻 (1.2 kΩ (典型值))
- 磁性灵敏度*1 : $B_{OP} = 3.0 \text{ mT}$ (典型值)
 $B_{OP} = 6.0 \text{ mT}$ (典型值)
 $B_{OP} = 10.0 \text{ mT}$ (典型值)
 $B_{OP} = 15.0 \text{ mT}$ (典型值)
- 斩波频率 : $f_C = 500 \text{ kHz}$ (典型值)
- 输出延迟时间 : $t_D = 8.0 \mu\text{s}$ (典型值)
- 电源电压范围*2 : $V_{DD} = 2.7 \text{ V} \sim 26.0 \text{ V}$
- 内置稳压器
- 内置输出电流限制电路
- 工作温度范围 : $T_a = -40^\circ\text{C} \sim +125^\circ\text{C}$
- 无铅 (Sn 100%)、无卤素

*1. 可以选项。

*2. 输出方式为N沟道驱动器 + 内置上拉电阻 (1.2 kΩ (典型值)) 时, $V_{DD} = 2.7 \text{ V} \sim 5.5 \text{ V}$ 。

■ 用途

- 家用电器产品
- 住宅设备
- 产业设备

■ 封装

- TSOT-23-3S
- HSNT-6(2025)

S-576B B系列

工作温度125°C、
高耐压、高速、
交变检测型霍尔效应IC

本IC是采用CMOS技术开发的可在高温环境下工作、高耐压的高精度霍尔效应IC。

通过检测磁束密度的强弱以及极性变化, 可切换输出电压的电位。通过与磁石的组合, 可对各种设备的翻转进行检测。

本公司可根据用户的机械构造推荐磁石与本公司霍尔效应IC的最佳组合, 为用户提供 "磁力模拟分析服务"。通过灵活应用此磁力模拟分析服务, 可削减试产次数、开发周期和开发费用, 为实现最优化产品更高的性能价格比做出贡献。有关磁力模拟分析服务的实施详情, 请向代理商部咨询。

■ 特点

- 备有薄型的 (t0.80 mm (最大值)) TSOT-23-3S和超薄型的 (t0.50 mm (最大值)) HSNT-6(2025) 封装, 可实现设备的小型化
- 具备高精度磁特性 (典型值 ± 1.0 mT), 可减少机械设备的工作差异 (详情请参阅 "■ 磁特性")
- 内置有输出电流限制电路, 可提高设备的安全设计

■ 规格

- 极性检测 : 交变检测
- 输出逻辑*1 : 检测S极时 $V_{OUT} = "L"$
检测S极时 $V_{OUT} = "H"$
- 输出方式*1 : N沟道开路漏极输出
N沟道驱动器 + 内置上拉电阻 (1.2 k Ω (典型值))
- 磁性灵敏度*1 : $B_{OP} = 0.5$ mT (典型值)
 $B_{OP} = 2.2$ mT (典型值)
 $B_{OP} = 3.0$ mT (典型值)
 $B_{OP} = 6.0$ mT (典型值)
 $B_{OP} = 10.0$ mT (典型值)
- 斩波频率 : $f_C = 500$ kHz (典型值)
- 输出延迟时间 : $t_D = 8.0$ μ s (典型值)
- 电源电压范围*2 : $V_{DD} = 2.7$ V ~ 26.0 V
- 内置稳压器
- 内置输出电流限制电路
- 工作温度范围 : $T_a = -40^\circ\text{C} \sim +125^\circ\text{C}$
- 无铅 (Sn 100%)、无卤素

*1. 可以选项。

*2. 输出方式为N沟道驱动器 + 内置上拉电阻 (1.2 k Ω (典型值)) 时, $V_{DD} = 2.7$ V ~ 5.5 V。

■ 用途

- DC无刷电动机
- 电动工具
- 家用电器产品
- 住宅设备
- 产业设备

■ 封装

- TSOT-23-3S
- HSNT-6(2025)

S-576Z B系列

工作温度125°C、
高耐压、高速、
Zero Crossing Latch霍尔效应IC

本IC是采用CMOS技术开发的可在高温环境下工作、高耐压的高精度霍尔效应IC。

本IC在检测到磁束密度 (磁场) 的极性变化时, 切换输出电压的电位。与以往的交变检测方式相比, Zero Crossing Latch技术实现了高精度的极性变化检测。通过与磁石的组合, 可对各种设备的翻转进行检测。

本公司可根据用户的机械构造推荐磁石与本公司霍尔效应IC的最佳组合, 为用户提供 "磁力模拟分析服务"。通过灵活应用此磁力模拟分析服务, 可削减试产次数、开发周期和开发费用, 为实现最优化产品更高的性能价格比做出贡献。有关磁力模拟分析服务的实施详情, 请向代理商部咨询。

■ 特点

- 备有薄型的 (t0.80 mm (最大值)) TSOT-23-3S和超薄型的 (t0.50 mm (最大值)) HSNT-6(2025) 封装, 可实现设备的小型化
- 通过检测磁束密度 (磁场) 的极性变化, 可减少机械设备的工作差异
- 内置有输出电流限制电路, 可提高设备的安全设计

■ 规格

- 极性检测 : Zero Crossing Latch检测
- 输出逻辑*1 : 检测S极时 $V_{OUT} = "L"$
检测S极时 $V_{OUT} = "H"$
- 输出方式*1 : N沟道开路漏极输出
N沟道驱动器 + 内置上拉电阻 (1.2 k Ω (典型值))
- 零交叉锁存点 : $B_Z = 0.0 \text{ mT}$ (典型值)
- 解除点 (S极)*1 : $B_{RS} = 3.0 \text{ mT}$ (典型值)
 $B_{RS} = 6.0 \text{ mT}$ (典型值)
- 斩波频率 : $f_C = 500 \text{ kHz}$ (典型值)
- 输出延迟时间 : $t_D = 8.0 \mu\text{s}$ (典型值)
- 电源电压范围*2 : $V_{DD} = 2.7 \text{ V} \sim 26.0 \text{ V}$
- 内置稳压器
- 内置输出电流限制电路
- 工作温度范围 : $T_a = -40^\circ\text{C} \sim +125^\circ\text{C}$
- 无铅 (Sn 100%)、无卤素

*1. 可以选项。

*2. 输出方式为N沟道驱动器 + 内置上拉电阻 (1.2 k Ω (典型值)) 时, $V_{DD} = 2.7 \text{ V} \sim 5.5 \text{ V}$ 。

■ 用途

- DC无刷电动机
- 家用电器产品
- 住宅设备
- 产业设备

■ 封装

- TSOT-23-3S
- HSNT-6(2025)

S-576Z R系列

工作温度范围广、
高耐压、高速、
Zero Crossing Latch霍尔效应IC

本IC是采用CMOS技术开发的、可在宽广的工作温度范围工作的、高耐压的高精度霍尔效应IC。

本IC在检测到磁束密度 (磁场) 的极性变化时, 切换输出电压的电位。与以往的交变检测方式相比, Zero Crossing Latch技术实现了高精度的极性变化检测。通过与磁石的组合, 可对各种设备的翻转进行检测。

本公司可根据用户的机械构造推荐磁石与本公司霍尔效应IC的最佳组合, 为用户提供 "磁力模拟分析服务"。通过灵活应用此磁力模拟分析服务, 可削减试产次数、开发周期和开发费用, 为实现最优化产品更高的性能价格比做出贡献。有关磁力模拟分析服务的实施详情, 请向代理商部咨询。

■ 特点

- 维持现有的S-576Z B系列的性能, 并且扩展了工作温度的范围 ($-50^{\circ}\text{C} \sim +150^{\circ}\text{C}$)
- 薄型的 (t0.80 mm (最大值)) TSOT-23-3S封装, 可实现设备的小型化
- 通过高精度的检测磁束密度 (磁场) 的极性变化, 可减少机械设备的工作差异
- 内置有输出电流限制电路, 可提高设备的安全设计

■ 规格

- 极性检测 : Zero Crossing Latch检测
- 输出逻辑*1 : 检测S极时 $V_{\text{OUT}} = \text{"L"}$
检测S极时 $V_{\text{OUT}} = \text{"H"}$
- 输出方式*1 : N沟道开路漏极输出
N沟道驱动器 + 内置上拉电阻 (1.2 k Ω (典型值))
- 零交叉锁存点 : $B_Z = 0.0 \text{ mT}$ (典型值)
- 解除点 (S极)*1 : $B_{\text{RS}} = 3.0 \text{ mT}$ (典型值)
 $B_{\text{RS}} = 6.0 \text{ mT}$ (典型值)
- 斩波频率 : $f_c = 500 \text{ kHz}$ (典型值)
- 输出延迟时间 : $t_D = 8.0 \mu\text{s}$ (典型值)
- 电源电压范围*2 : $V_{\text{DD}} = 2.7 \text{ V} \sim 26.0 \text{ V}$
- 内置稳压器
- 内置输出电流限制电路
- 工作温度范围 : $T_a = -50^{\circ}\text{C} \sim +150^{\circ}\text{C}$
- 无铅 (Sn 100%)、无卤素

*1. 可以选项。

*2. 输出方式为N沟道驱动器 + 内置上拉电阻 (1.2 k Ω (典型值)) 时, $V_{\text{DD}} = 2.7 \text{ V} \sim 5.5 \text{ V}$ 。

■ 用途

- 基础设施
- 室外用DC无刷电动机
- 家用电器产品
- 住宅设备
- 产业设备

■ 封装

- TSOT-23-3S

S-5841系列

温度开关IC (恒温器IC)

S-5841系列是以 $\pm 2.5^{\circ}\text{C}$ 为温度精度进行温度检测的温度开关IC (恒温器IC)。当达到检测温度时输出会反转，温度会降低到解除温度，从而使输出恢复为原始状态。

由于是CMOS构成，因此可从2.2 V的低电源电压开始工作，且消耗电流仅为10 μA (典型值)。

在同一芯片中集成了带有负温度系数的温度传感器、基准电压发生电路、比较器和延迟电路，且将它们收容在SOT-23-5以及SNT-6A封装中。

■ 特点

- 检测温度： $T_{\text{DET}} = +40^{\circ}\text{C} \sim +100^{\circ}\text{C}$ 、进阶单位为 $+1^{\circ}\text{C}$ 、检测精度 $\pm 2.5^{\circ}\text{C}$
- 低电压工作： $V_{\text{DD}} = 2.2 \text{ V}$ (最小值) (检测温度 = $+55^{\circ}\text{C} \sim +100^{\circ}\text{C}$, $T_{\text{a}} = -40^{\circ}\text{C} \sim +100^{\circ}\text{C}$)
- 低消耗电流： $I_{\text{DD}} = 10 \mu\text{A}$ (典型值) ($T_{\text{a}} = +25^{\circ}\text{C}$)
- 滞后温度可切换为 0°C , 2°C , 4°C 和 10°C
- 可选择动态 "H" 或动态 "L" 的输出逻辑
- 可选择CMOS输出或N沟道开路漏极输出的输出方式
- 工作温度范围： $T_{\text{a}} = -40^{\circ}\text{C} \sim +125^{\circ}\text{C}$
- 无铅、Sn 100%、无卤素^{*1}

*1. 详情请参阅 "■ 产品型号的构成"。

■ 用途

- 风机控制
- 空调系统
- 各种电子设备

■ 封装

- SOT-23-5
- SNT-6A

S-5844A系列

温度开关IC (恒温器IC)

S-5844A系列是以 $\pm 2.5^{\circ}\text{C}$ 为温度精度进行温度检测的温度开关IC (恒温器IC)。当达到检测温度时输出会反转，温度会降低到解除温度，从而使输出恢复为原始状态。

由于是CMOS构成，因此可从1.65 V的低电源电压开始工作，且消耗电流低 (0.18 μA (典型值))。

在同一芯片中集成了带有负温度系数的温度传感器、基准电压发生电路和比较器，且将它们收容在SOT-23-5、SNT-4A封装，以及超小型的HSNT-4 (1010) 封装中。

■ 特点

- 检测温度： $T_{\text{DET}} = +50^{\circ}\text{C} \sim +100^{\circ}\text{C}$ 、进阶单位为 $+5^{\circ}\text{C}$ 、检测精度 $\pm 2.5^{\circ}\text{C}$
- 低电压工作： $V_{\text{DD}} = 1.65 \text{ V}$ (最小值)
- 低消耗电流： $I_{\text{DD}} = 0.18 \mu\text{A}$ (典型值) ($T_a = +25^{\circ}\text{C}$)
- 滞后温度： 可在 5°C , 10°C , 15°C , 20°C 中选择
- 可选择动态 "H" 或动态 "L" 的输出逻辑
- 可选择CMOS输出或N沟道开路漏极输出的输出方式
- 工作温度范围： $T_a = -40^{\circ}\text{C} \sim +125^{\circ}\text{C}$
- 无铅 (Sn 100%)、无卤素

■ 用途

- 风机控制
- 空调系统
- 携带电话
- 游戏机
- 各种电子设备

■ 封装

- SOT-23-5
- SNT-4A
- HSNT-4 (1010)

S-5852A系列

带温度比较功能
高精度 数字温度传感器

S-5852A系列是可在1.7 V ~ 3.6 V范围内工作的带温度比较功能高精度数字温度传感器。S-5852A系列采用I²C-bus的接口与外部连接，可在最大1.0 MHz的频率下工作。通过使用可由I²C-bus设定的温度比较功能，输出温度检测信号。并能够通过使用可由I²C-bus设定的休眠模式，来减少消耗电流。

有关S-5852A系列的工作说明，在用户手册中有详细记载。请向代理商咨询。

注意 本产品是为了使用于家电设备、办公设备、通信设备等普通的电子设备上而设计的。考虑使用在汽车车载设备（包括车载音响、无匙车锁、发动机控制等）和医疗设备用途上的客户，请务必与代理商联系。

■ 特点

- 温度精度、高精度温度范围*1：
±0.5°C (典型值) / ±1.0°C (最大值) (Ta = 0°C ~ +65°C)
±0.5°C (典型值) / ±1.0°C (最大值) (Ta = +75°C ~ +95°C)
- 温度分辨率：
0.5°C、0.25°C、0.125°C、0.0625°C (可由分辨率寄存器来选择)
- 温度采样率：
7次 / 秒 (最小值)
- 滞后幅度：
无滞后、1.5°C、3.0°C、6.0°C (可由设定寄存器来选择)
- 消耗电流：
串行总线非动态时休眠模式：
I_{DD3} = 0.3 μA (典型值)、I_{DD3} = 3.0 μA (最大值)
串行总线非动态时动态模式：
I_{DD1} = 40.0 μA (典型值)、I_{DD1} = 100.0 μA (最大值)
- 工作电压范围：
1.7 V ~ 3.6 V
- 工作频率：
1.0 MHz (最大值) (V_{DD} = 2.2 V ~ 3.6 V)
400 kHz (最大值) (V_{DD} = 1.7 V ~ 3.6 V)
- 温度比较功能：
双阈值模式、单阈值模式 (可由设定寄存器来选择)
- 噪声抑制：
备有施密特触发器、带噪声滤波器输入端子 (SCL、SDA)
- 工作温度范围：
Ta = -40°C ~ +125°C
- 无铅 (Sn 100%)、无卤素

*1. 高精度温度范围可以选项。

■ 用途

- 固态硬盘
- 硬盘驱动器
- 笔记本电脑、平板电脑
- 冰箱
- 空调系统

■ 封装

- HSNT-8(2030)

S-5813A/5814A系列

CMOS 温度传感器 IC

S-5813A/5814A系列是对温度变化能取得线性输出电压的高精度温度传感器IC。

在芯片内集成了温度传感器、恒电流电路和运算放大器。

工作环境温度为 $-40^{\circ}\text{C} \sim +100^{\circ}\text{C}$ ，与传统的热敏电阻器等的温度传感器相比线性优异，可以广泛应用于各种温度控制电路中。

■ 特点

- 温度精度高
 - S-5813A系列: $\pm 5.0^{\circ}\text{C}$ ($-30^{\circ}\text{C} \sim +100^{\circ}\text{C}$)
 - S-5814A系列: $\pm 2.5^{\circ}\text{C}$ ($-30^{\circ}\text{C} \sim +100^{\circ}\text{C}$)
- 输出电压与温度变化呈线性关系
 - $-11.04 \text{ mV}/^{\circ}\text{C}$ 典型值
 - Ta = -30°C : 2.582 V 典型值
 - Ta = $+30^{\circ}\text{C}$: 1.940 V 典型值
 - Ta = $+100^{\circ}\text{C}$: 1.145 V 典型值
 - $\pm 0.5\%$ 典型值 ($-20^{\circ}\text{C} \sim +80^{\circ}\text{C}$)
 - $V_{\text{DD}} = 2.4 \text{ V} \sim 10.0 \text{ V}$ ($+25^{\circ}\text{C}$)
 - 4.0 μA 典型值 ($+25^{\circ}\text{C}$)
- 线性特性优异
- 可以在较大的电源电压范围下工作
- 消耗电流低
- 内置运算放大器
- 以 V_{SS} 为基准的输出电压
- 无铅 (Sn 100%)、无卤素

■ 用途

- 携带电话、无线设备等的高频电路特性的补正
- 石英振荡器振荡频率的补正
- LCD的对比度补正
- 放大器增益的补正
- 自动调焦电路的补正
- 电池管理方面的温度检测
- 充电电池、卤素灯等的过热保护

■ 封装

- SNT-4A

S-58LM20A 系列

CMOS 温度传感器 IC

S-58LM20A系列是对温度变化能取得线性输出电压的高精度温度传感器IC。

在芯片内集成了温度传感器、恒电流电路和运算放大器。

工作环境温度是 $-55^{\circ}\text{C} \sim +130^{\circ}\text{C}$ ，与传统的热敏电阻器等的温度传感器相比线性优越，可以广泛应用于各种温度控制电路中。

■ 特点

- 温度精度高 $\pm 2.5^{\circ}\text{C}$ ($-55^{\circ}\text{C} \sim +130^{\circ}\text{C}$)
- 输出电压与温度变化呈线性关系
 - $-11.77 \text{ mV}/^{\circ}\text{C}$ 典型值
 - $T_a = -30^{\circ}\text{C}$: 2.205 V 典型值
 - $T_a = +30^{\circ}\text{C}$: 1.515 V 典型值
 - $T_a = 100^{\circ}\text{C}$: 0.303 V 典型值
- 线性特性优异 $\pm 0.4\%$ 典型值 ($-20^{\circ}\text{C} \sim +80^{\circ}\text{C}$)
- 可以在较大的电源电压范围下工作
 - $V_{\text{DD}} = 2.4 \text{ V} \sim 5.5 \text{ V}$ ($-30^{\circ}\text{C} \sim +130^{\circ}\text{C}$)
 - $V_{\text{DD}} = 2.7 \text{ V} \sim 5.5 \text{ V}$ ($-55^{\circ}\text{C} \sim +130^{\circ}\text{C}$)
- 消耗电流低 $4.5 \mu\text{A}$ 典型值 ($+25^{\circ}\text{C}$) $6.0 \mu\text{A}$ 最大值 ($-55^{\circ}\text{C} \sim +130^{\circ}\text{C}$)
- 内置运算放大器
- 以 V_{SS} 为基准的输出电压
- 无铅、Sn 100%、无卤素*1

*1. 详情请参阅“■ 产品型号的构成”。

■ 用途

- 携带电话、无线设备等的高频电路特性的补正
- 石英振荡器振荡频率的补正
- LCD的对比度补正
- 放大器增益的补正
- 自动调焦电路的补正
- 电池管理方面的温度检测
- 充电电池、卤素灯等的过热保护

■ 封装

- SC-82AB
- SNT-4A
- WLP-4B

S-8110C/8120C 系列

CMOS 温度传感器 IC

S-8110C/8120C 系列是对温度变化能取得线性输出电压的高精度温度传感器 IC。

在芯片内集成了温度传感器、恒电流电路和运算放大器。

使用范围为 $-40^{\circ}\text{C} \sim +100^{\circ}\text{C}$ ，与传统的热敏电阻器等的温度传感器相比线性优异、可以广泛应用于各种温度控制电路中。

■ 特点

- 温度精度高。
S-8110C 系列： $\pm 5.0^{\circ}\text{C}$ ($-30^{\circ}\text{C} \sim +100^{\circ}\text{C}$)
S-8120C 系列： $\pm 2.5^{\circ}\text{C}$ ($-30^{\circ}\text{C} \sim +100^{\circ}\text{C}$)
- 输出电压与温度变化呈线性关系。
-8.20 mV/ $^{\circ}\text{C}$ 典型值
Ta = -30°C : 1.951 V 典型值
Ta = $+30^{\circ}\text{C}$: 1.474 V 典型值
Ta = $+100^{\circ}\text{C}$: 0.882 V 典型值
 $\pm 0.5\%$ 典型值 ($-20^{\circ}\text{C} \sim +80^{\circ}\text{C}$)
- 线性特性优异。
- 可以在较大的电源电压范围下工作。 $V_{\text{DD}} = 2.4 \text{ V} \sim 10.0 \text{ V}$
- 消耗电流低。 4.5 μA 典型值 ($+25^{\circ}\text{C}$)
- 内置运算放大器。
- 以 V_{SS} 为基准的温度电压输出。
- 无铅、Sn 100%、无卤素^{*1}

*1 详情请参阅“■ 产品型号的构成”。

■ 用途

- 携带电话、无线设备等的高频电路特性的补正。
- 石英振动物子振荡频率的补正。
- LCD 的对比度补正。
- 放大器增益的补正。
- 自动调焦电路的补正。
- 电池管理方面的温度检测。
- 充电电池、卤素灯等的过热保护。

■ 封装

- SC-82AB
- SNT-4A

S-585AA

备有ARP功能
内置温度传感器
2线串行E²PROM

本IC是可在1.7 V ~ 3.6 V范围内工作、备有地址解析协议 (ARP) 功能、内置温度传感器的2线串行E²PROM。容量为4 K位，构成是2页 × 256字 × 8位。可进行页写入、顺序读出。本IC可在SMBus和最大1.0 MHz的I²C-bus下工作。通过使用可由I²C-bus设定的休眠模式，来减少消耗电流。并且，因可辅助SMBus的ARP功能，最适用于通过SMBus通信的SSD。

注意 本产品是为了使用于家电设备、办公设备、通信设备等普通的电子设备上而设计的。考虑使用在汽车车载设备 (包括车载音响、无匙车锁、发动机控制等) 和医疗设备用途上的客户，请务必事先与代理商商谈。

■ 特点

E²PROM部分

- 页写入：16节 / 页
- 顺序读出
- 电源电压低时的禁止写入功能
- 写入保护：可按每4块 (128字节 / 块) 设置软件保护
- 重写次数：10⁶次 / 字*1 (Ta = +25°C)
- 数据保存期：100年 (Ta = +25°C)
- 存储器容量：4 K位
- 首次出厂时数据：FFh

温度传感器部分

- 温度精度：±0.25°C (典型值) / ±1.0°C (最大值) (Ta = 0°C ~ +85°C)
±0.25°C (典型值) / ±1.5°C (最大值) (Ta = -40°C ~ +125°C)
- 温度测定频率：8次 / 秒 (最小值)
- 可选择滞后幅度：无滞后、1.5°C、3.0°C、6.0°C

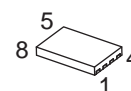
整体

- 辅助SMBus的ARP功能
- 辅助报警响应地址 (ARA) 功能
- 辅助默认从属地址 (DSA)
- 消耗电流：
 - E²PROM待机模式、温度传感器休眠模式：3.0 μA (最大值)
 - E²PROM待机模式、温度传感器工作模式：0.1 mA (最大值)
 - E²PROM读出模式、温度传感器工作模式：0.4 mA (最大值)
 - E²PROM写入模式、温度传感器工作模式：2.0 mA (最大值)
- 工作电压范围：1.7 V ~ 3.6 V
- 工作频率：1.0 MHz (最大值) (V_{DD} = 2.2 V ~ 3.6 V)
400 kHz (最大值) (V_{DD} = 1.7 V ~ 3.6 V)
- 噪声除去：备有施密特触发器、带噪声滤波器输入端子 (SCL, SDA)
- 工作温度范围：Ta = -40°C ~ +125°C
- 无铅 (Sn 100%)、无卤素

*1. 每个地址 (字 : 8位)

■ 封装

- DFN-8(2030)B



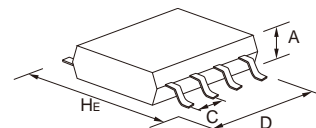
(3.0 × 2.0 × t0.8 mm max.)

封装一览表

封装类型	引脚数	封装名称	封装尺寸 (mm)			间距 (mm)	
			H _E	D	A (max.)	C	
引线插入型	3	TO-92	14.5	5.2	4.2	2.5/1.27	
扁平引线型	3	SOT-89-3	4.0	4.5	1.6	1.5	
	5	SOT-89-5	4.5	4.5	1.6	1.5	
双翅型	4	SC-82AB	2.1	2.0	1.1	1.3	
	5	SC-88A	2.1	2.0	1.1	0.65	
	3	SOT-23-3	2.8	2.9	1.3	1.9	
	3	SOT-23-3S	2.8	2.9	1.2	1.9	
	3	TSOT-23-3S	2.85	2.9	0.8	1.9	
	5	SOT-23-5	2.8	2.9	1.3	0.95	
	6	SOT-23-6	2.8	2.9	1.35	0.95	
	6	SOT-23-6W	2.8	2.9	1.3	0.95	
	8	8-Pin SOP (JEDEC)	6.0	5.02	1.75	1.27	
	8	8-Pin TSSOP	6.4	3.0	1.1	0.65	
	16	16-Pin TSSOP	6.4	5.1	1.1	0.65	
	20	20-Pin TSSOP	6.4	6.5	1.2	0.65	
	24	24-Pin SSOP	7.6	7.9	1.4	0.65	
	8	TMSOP-8	4.0	2.9	0.8	0.65	
	8	HTMSOP-8	4.0	2.9	0.8	0.65	
	16	HTSSOP-16	6.4	5.12	1.1	0.65	
	6	HSOP-6	6.0	5.02	1.75	1.91	
	8	HSOP-8A	6.0	5.02	1.68	1.27	
	8	HSOP-8Q	6.0	5.02	1.68	1.27	
	5	TO-252-5S(A)	6.5	6.5	1.4	1.27	
	9	TO-252-9S	6.5	6.5	1.4	0.65	
	无引线型	6	6-Pin HSON(A)	3.0	2.9	0.9	0.95
		4	SNT-4A	1.6	1.2	0.5	0.65
6		SNT-6A	1.8	1.57	0.5	0.5	
6		SNT-6A(H)	1.8	1.57	0.5	0.5	
8		SNT-8A	2.46	1.97	0.5	0.5	
4		HSNT-4(0808)	0.8	0.8	0.4	0.4	
4		HSNT-4(0808)B	0.8	0.8	0.41	0.4	
4		HSNT-4(1010)	1.0	1.0	0.4	0.65	
4		HSNT-4(1010)B	1.0	1.0	0.41	0.65	
6		HSNT-6A	2.46	1.96	0.5	0.5	
6		HSNT-6(1212)	1.2	1.2	0.4	0.4	
6		HSNT-6D (HSNT-6(1618))	1.8	1.6	0.4	0.5	
6		HSNT-6(2025)	2.46	1.96	0.5	0.5	
8		HSNT-8(1616)	1.6	1.6	0.4	0.4	
8		HSNT-8(1616)B	1.6	1.6	0.41	0.4	
8		HSNT-8(2030)	3.0	2.0	0.5	0.5	
6		DFN-6(1414)A	1.4	1.4	0.6	0.5	
6		DFN-6(1518)A	1.8	1.5	0.33	0.5	
8		DFN-8(1616)A	1.6	1.6	0.6	0.4	
8		DFN-8(2020)A	2.0	2.0	0.6	0.5	
8		DFN-8(2030)	3.0	2.0	0.5	0.5	
8		DFN-8(2030)A	3.0	2.0	0.6	0.5	
8		DFN-8(2030)B	3.0	2.0	0.8	0.5	

备注 1. 有关封装的详情, 请参阅本公司的Web网站。 [封装一览 on ablic.com](http://ablic.com)

2. 有关WLP封装产品的详情, 请向代理商咨询。



注意事项

- 本产品目录有可能未经预告而更改内容。
- 未经本公司许可，严禁将本产品目录的一部分或全部内容进行转载、复制等来用于其他目的。
- 本产品目录所登载的产品照片由于是印刷品，与实际产品相比，色彩可能稍有偏差。使用时请事先确认。
- 本产品目录上所登载的电路和使用方法仅供参考。对因这些资料所引起的对第三者的权利(包括知识产权)的侵犯或损害，本公司不予以任何保证。另外，本产品目录并非是对第三者或本公司的知识产权的实施权的许可。
- 本产品目录所登载产品，如果属于“外汇及外国贸易法”所规定的限制货物(或劳务)，则必须取得该法规所规定的出口许可。
- 本产品目录所登载的产品未经本公司书面许可，不得作为健康器械、医疗器械、防灾器械、瓦斯关联器械、车辆器械、车载器械、航空器械、太空器械及核电关联器械等对人体产生影响的器械或装置部件使用。
- 本产品目录所记载的产品，非耐放射线设计产品。
- 本公司已为提高品质、可靠性作了最大的努力，但是半导体产品有可能按照一定的概率发生故障或错误工作。为防止因故障或错误工作而产生的人身事故、火灾事故和社会损害等，请用户在安全设计上予以足够的重视，采取诸如冗余设计、延烧对策设计和防止错误工作设计等措施。